

EMSA突变探针 – NF-κB (10μM)

产品编号	产品名称	包装
GS056T	EMSA突变探针 – NF-κB (10μM)	30μl

产品简介:

- EMSA突变探针 – NF-κB是用于EMSA(也称gel shift)研究的NF-κB consensus oligonucleotide的突变体。可以作为EMSA探针 – NF-κB的阴性对照, 用于EMSA结合反应中突变探针的冷竞争反应等。
- EMSA突变探针 – NF-κB的序列如下:
 5' -AGT TGA GGC GAC TTT CCC AGG C-3'
 3' -TCA ACT CCG CTG AAA GGG TCC G-5'
- EMSA突变探针 – NF-κB中NF-κB的公认的结合位点发生了突变, 从而使NF-κB无法和该突变探针结合。在探针冷竞争反应中, 正常的标记探针和NF-κB的结合的条带会被抑制; 而在突变探针冷竞争反应(cold competition)中, 正常的标记探针和NF-κB的结合的条带不会被抑制。参考下图。

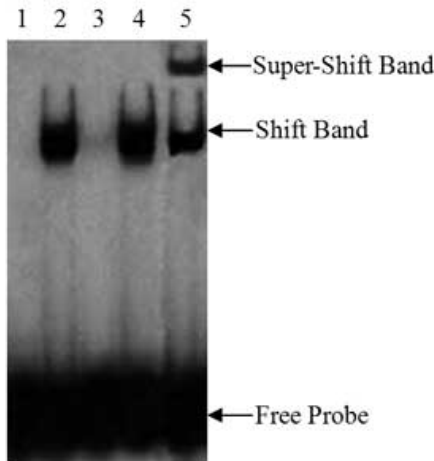


图1. 一个典型的EMSA/Gel- Shift分析图

- 1, 阴性对照反应(标记探针);
- 2, 常规反应(含激活的目的转录因子的核蛋白 + 标记探针);
- 3, 探针冷竞争反应(含激活的目的转录因子的核蛋白 + 标记探针 + 标记探针100倍量的未标记探针);
- 4, 突变探针的冷竞争反应(含激活的目的转录因子的核蛋白 + 标记探针 + 标记探针100倍量的未标记突变探针);
- 5, Super-shift反应(含激活的目的转录因子的核蛋白 + 标记探针 + 目的转录因子的特异抗体)。

- 一个包装的突变探针, 如果用于同位素标记EMSA探针的突变探针冷竞争反应, 可以进行90-180个突变探针的冷竞争反应。如果用于生物素标记探针的冷竞争时, 可以进行约30个冷竞争反应。

包装清单:

产品编号	产品名称	包装
GS056T	EMSA突变探针 – NF-κB (10μM)	30μl
—	说明书	1份

保存条件:

-20°C保存, 一年有效。

注意事项:

- 避免加热到40°C以上, 温度过高会导致双链DNA探针解聚成单链。而单链无法用于EMSA研究。
- 对于EMSA的详细介绍可以参考我们的EMSA试剂盒的使用说明。
- 本产品仅限于专业人员的科学研究用, 不得用于临床诊断或治疗, 不得用于食品或药品, 不得存放于普通住宅内。
- 为了您的安全和健康, 请穿实验服并戴一次性手套操作。

使用说明:

1. 用于突变探针的冷竞争反应, 可以参考如下反应体系:

突变探针的冷竞争反应:

Nuclease-Free Water	4μl
EMSA/Gel-Shift 结合缓冲液(5X)	2μl
细胞核蛋白或纯化的转录因子	2μl

未标记的突变探针	1μl
标记好的探针	1μl
总体积	10μl

如果使用更大体积的未标记的突变探针，Nuclease-Free Water的体积就要相应减少，使总体积保持不变。

使用本产品的文献：

1. Shan X, Tian LL, Zhang YM, Wang XQ, Yan Q, Liu JW. Ginsenoside Rg3 suppresses FUT4 expression through inhibiting NF-κB/p65 signaling pathway to promote melanoma cell death. *Int J Oncol.* 2015 Aug;47(2):701-9.
2. Guan H, Mi B, Li Y, Wu W, Tan P, Fang Z, Li J, Zhang Y, Li F. Decitabine represses osteoclastogenesis through inhibition of RANK and NF-κB. *Cell Signal.* 2015 May;27(5):969-77.
3. Tan P, Guan H, Xie L, Mi B, Fang Z, Li J, Li F. FOXO1 inhibits osteoclastogenesis partially by antagonizing MYC. *Sci Rep.* 2015 Nov 16;5:16835.
4. Guan H, Zhao L, Cao H, Chen A, Xiao J. Epoxyeicosanoids suppress osteoclastogenesis and prevent ovariectomy-induced bone loss. *FASEB J.* 2015 Mar;29(3):1092-101.
5. Wu J, Hu G, Lu Y, Zheng J, Chen J, Wang X, Zeng Y. Palmitic acid aggravates inflammation of pancreatic acinar cells by enhancing unfolded protein response-induced CCAAT-enhancer-binding protein β-CCAAT-enhancer-binding protein α activation. *Int J Biochem Cell Biol.* 2016 Oct;79:181-193.
6. Xu Y, Gao AM, Ji LJ, Li X, Zhong LL, Li HL, Zheng DH. All-Trans Retinoic Acid Attenuates Hypoxia-Induced Injury in NRK52E Cells via Inhibiting NF-α03BA;B/VEGF and TGF-β2/VEGF Pathway. *Cell Physiol Biochem.* 2016;38(1):229-36.
7. Jiang X, Li Z, Jiang S, Tong X, Zou X, Wang W, Zhang Z, Wu L, Tian D. Lipoxin A4 exerts protective effects against experimental acute liver failure by inhibiting the NF-κB pathway. *Int J Mol Med.* 2016 Mar;37(3):773-80.
8. Zhang Y, Wu J, Ying S, Chen G, Wu B, Xu T, Liu Z, Liu X, Huang L, Shan X, Dai Y, Liang G. Discovery of new MD2 inhibitor from chalcone derivatives with anti-inflammatory effects in LPS-induced acute lung injury. *Sci Rep.* 2016 Apr 27;6:25130.
9. Liu JS, Wei XD, Lu ZB, Xie P, Zhou HL, Chen YY, Ma JM, Yu LZ. Liang-Ge-San, a classic traditional Chinese medicine formula, protects against lipopolysaccharide-induced inflammation through cholinergic anti-inflammatory pathway. *Oncotarget.* 2016 Apr 19;7(16):21222-34.

Version 2017.02.21